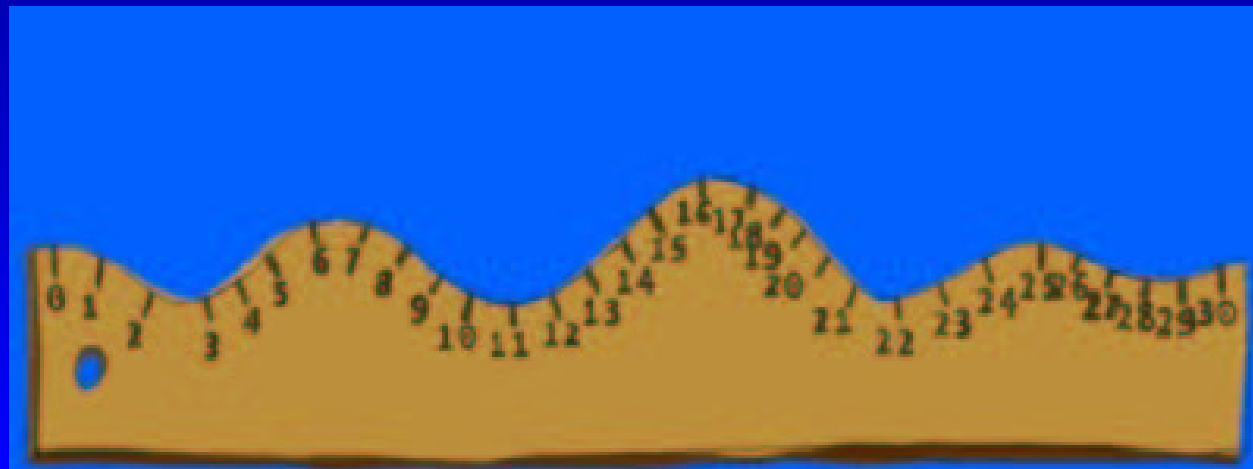


# Die Dicke von Grenzflächen

Melanie Müller

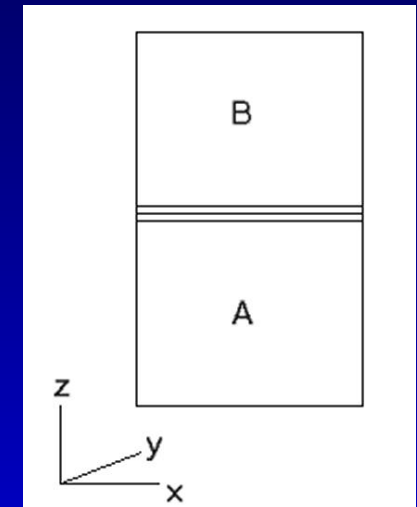
Forschungsseminar Quantenfeldtheorie

2. Dezember 2003

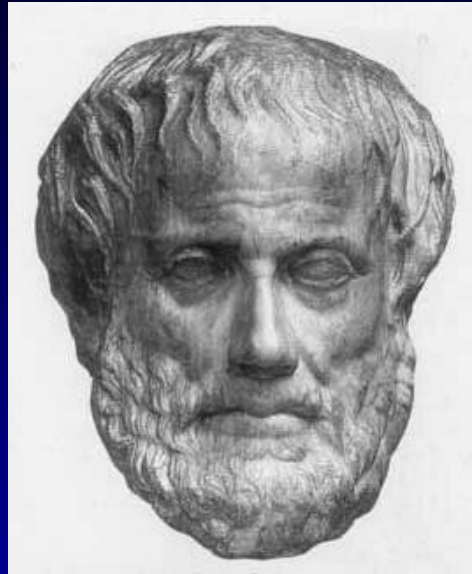


# Welche Grenzflächen?

- Grenzflächen zwischen zwei verschiedenen (Phasen von) Gasen / Flüssigkeiten / Festkörpern
- 3-dimensionale Systeme  $\Rightarrow$  2-dimensionale Grenzfläche
- Grenzfläche zwischen zwei koexistierenden Phasen im *Gleichgewicht*
- in der Nähe der kritischen Temperatur  $T_c$   
 $\Rightarrow$  universell, viele Fluktuationen
- Grenzfläche senkrecht zur z-Achse
- Beschreibung auf verschiedenen Längenskalen  
 $\leftrightarrow$  verschiedene Fluktuationen



# Was ist eine Grenzfläche?



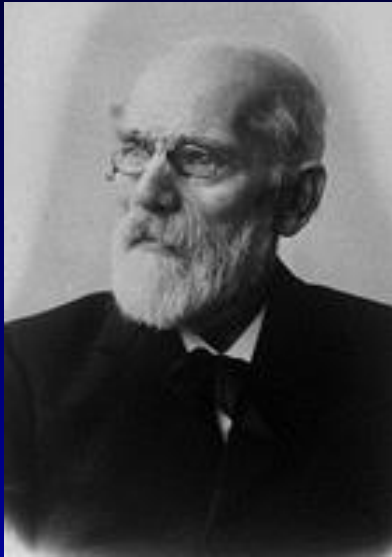
Aristoteles: Grenze =  
der letzte Punkt eines Dinges,  
jenseits dessen es kein Teil des  
Dinges gibt, diesseits dessen alle  
Teile des Dinges sind.

⇒ scharfe Grenze zwischen  
zwei Stoffen / Phasen

# Molekulare Mechanik

- bis ins 19. Jahrhundert
- scharfe Grenzfläche  $\phi_g(z) \sim \Theta(z - h)$
- mechanisch-statische Betrachtung: Moleküle sind in Ruhe in Minima potenzieller Energie
- Berechnung aufgrund von kurzreichweitigen Anziehungskräften zwischen Molekülen.  
Rayleigh 1890: „the attractive forces were left to perform the impossible feat of balancing themselves“

# Van der Waals



- van der Waals 1893 (20 Jahre nach seiner Gleichung)
- kontinuierliches Grenzflächenprofil  $\phi_g(z)$
- thermodynamische Argumentation
- Einführen einer Freien Energiedichte aus Betrachtung intermolekularer Kräfte und Taylor-Entwicklung:

$$\mathcal{L}(\phi(z)) = V(\phi(z)) + \frac{1}{2}(\phi'(z))^2$$

Minimum von  $\mathcal{L}(\phi(z))$  ist das Grenzflächenprofil  $\phi_g(z)$  im Gleichgewicht.

# Van der Waals

Freie Energie-Dichte:

$$\mathcal{L}(\phi(z)) = V(\phi(z)) + \frac{1}{2}(\phi'(z))^2$$

Term **A**: Freie Energie-Dichte einer hypothetischen Flüssigkeit mit homogener Dichte  $\phi^{fl} < \phi_g(z) < \phi^g$ .  
Keine Maxwell-Konstruktion!

Term **B**: Starke Fluktuationen kosten Energie.

# Van der Waals

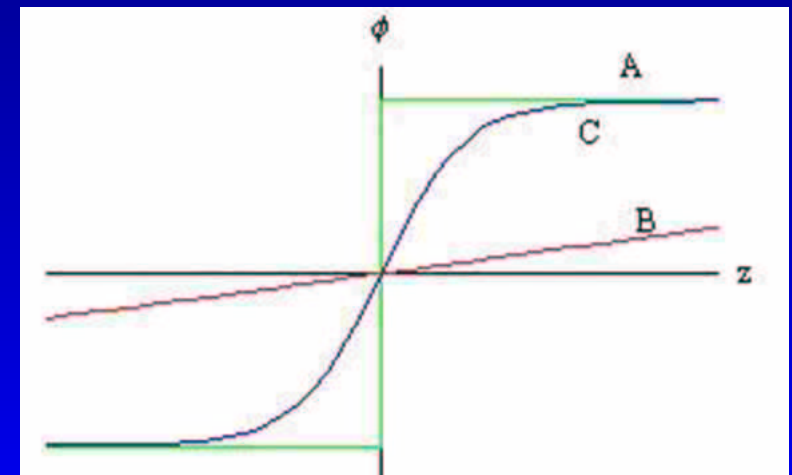
Freie Energie-Dichte:

$$\mathcal{L}(\phi(z)) = V(\phi(z)) + \frac{1}{2}(\phi'(z))^2$$

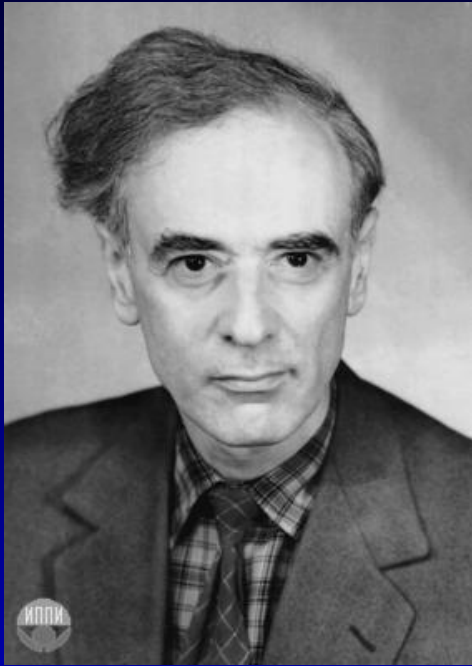
nur Term **A**: scharfe Grenzfläche, Oberflächenspannung = 0

nur Term **B**: Grenzfläche unendlich diffus,  
Oberflächenspannung = 0

beide Terme **C** = A + B:  
kontinuierliches Profil  $\phi_g(z)$   
mit endlicher Breite,  
endlicher Oberflächenspannung



# Landau-Theorie



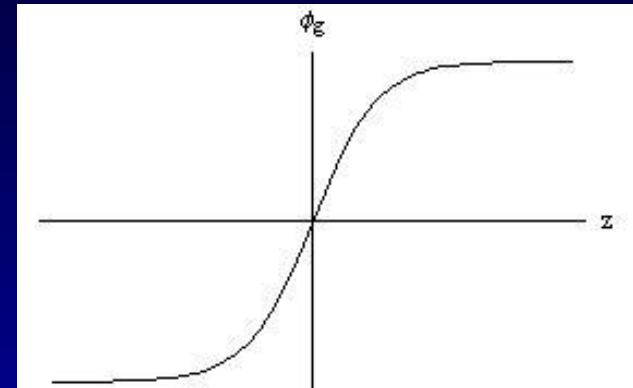
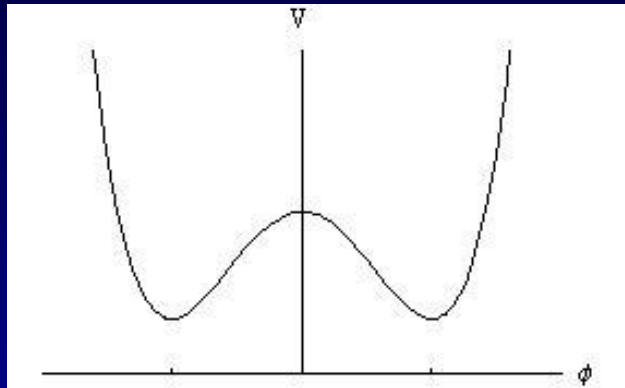
- Landau 1937
  - mean-field-Theorie, entspricht van der Waals-Theorie
  - universelle Gültigkeit in der Nähe des kritischen Punktes  $T_c$
  - Ordnungsparameter  $\phi$ :  
Dichte bei Flüssigkeitsgemisch,  
spontane Magnetisierung bei Ferromagneten
- 
- Postulate über Analytizität und Symmetrie der Freien Energie, Taylor-Entwicklung um kritischen Punkt

$$\Rightarrow \mathcal{L}(\phi) = \frac{1}{2}(\partial\phi)^2 + \frac{g}{4!}(\phi^2 - 1)^2$$



# Landau-Theorie

Freie Energie-Dichte  $\mathcal{L}(\phi) = \frac{1}{2}(\partial\phi)^2 + \frac{g}{4!}(\phi^2 - 1)^2$



- Grenzflächen-Profil aus Minimierung von  $\mathcal{L}$   
 $\Rightarrow \phi_g(z) = \tanh\left(\frac{1}{2\xi}(z - h)\right)$
- Dicke  $\sim \xi$  Korrelationslänge (der homogenen Phase)
- $\phi_g$  „intrinsisches“ Profil,  
hängt nicht von äußeren Parametern ab

# Landau-Theorie

- van der Waals- und Landau-Theorie = mean-field-Näherungen  
Wann gültig?  $\leftrightarrow$  Welche Fluktuationen?
- Grenzflächenprofil  $\phi_g(z)$  aus mikroskopischer Theorie durch Grobkörnung  
 $\Rightarrow$  „Wegmitteln“ mikroskopischer Fluktuationen  
 $\Rightarrow$  Wellenlängen  $\lambda > a$  mikroskopische Länge (Gitterkonstante)
- mean-field-Näherung  $\leftrightarrow$  Vernachlässigen von Fluktuationen  $\lambda > B_{\text{intr}}$   
Cutoff  $B_{\text{intr}} \sim \xi$  Korrelationslänge

# Zusammenfassung Landau-Theorie

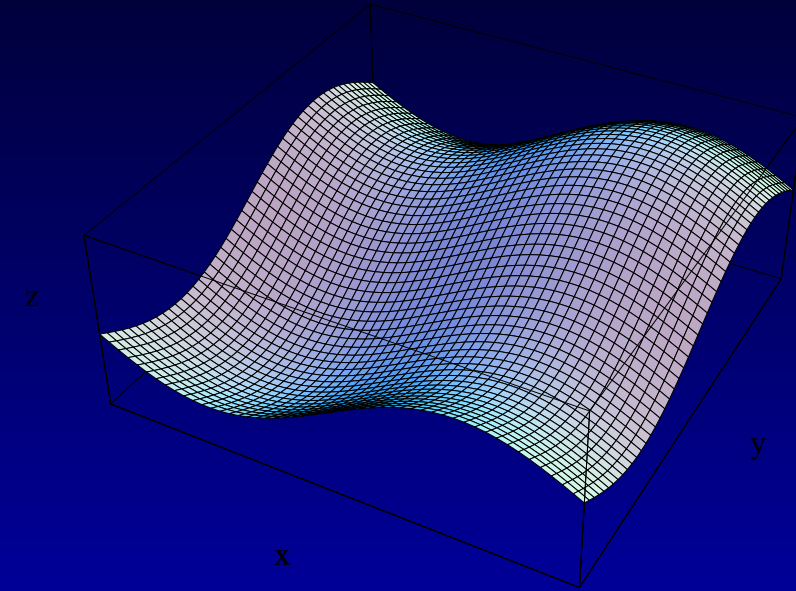
- Landau-Theorie liefert stetiges Grenzflächenprofil  $\phi_g$  mit endlicher Dicke
- Dicke wird verursacht durch thermodynamische Fluktuationen der Dichten der homogenen Phasen
- Berücksichtigung von Fluktuationen

$$a < \lambda < B_{\text{intr}} \sim \xi$$

- mikroskopischer Cutoff  $a$  unproblematisch: mikroskopische Details uninteressant
- Cutoff  $B_{\text{intr}}$  problematisch: langwellige Fluktuationen der Grenzfläche wichtig

# Kapillarwellen

- Buff, Lovett, Stillinger 1965
- Grenzfläche  
= schwingende Membran
- scharfe Grenzfläche  
 $\phi_g(z) \sim \Theta(z - h)$
- 2D-Membran  $h(x, y)$  schwingt  
mit langwelligen Fluktuationen  
kleiner Amplitude  
→ „Kapillarwellen“



# Kapillarwellen



# Kapillarwellen

- Freie Energie für die Kapillarwellen-Fluktuationen der Membran  $h(x, y)$ :

$$\begin{aligned}
 F_{KW} &= \text{Oberflächenspannung} \times \text{Fläche} \\
 &= \sigma \int dx dy \sqrt{1 + h_x^2 + h_y^2}
 \end{aligned}$$

- treibende Kraft: thermische Fluktuationen
- rücktreibende Kraft: Oberflächenspannung
- Herleitung aus Landau-Theorie möglich

# Kapillarwellen

- Freie Energie  $F_{KW} = \sigma \int dx dy \sqrt{1 + h_x^2 + h_y^2}$
- langsame Variation von  $h(x, y) \Rightarrow$  Gradient-Entwicklung

$$\Rightarrow F_{KW} = \sigma \int dx dy (h_x^2 + h_y^2)$$

$\Rightarrow$  Gaußsche Theorie

$\Rightarrow$  alle Mittelwerte berechenbar

# Kapillarwellen

- mittlere quadratische Fluktuation einer Mode  $\tilde{h}(\vec{q})$ :

$$\langle |\tilde{h}(\vec{q})|^2 \rangle = \frac{k_B T}{\sigma q^2} \quad (\text{Gleichverteilungssatz})$$

- Grenzflächen-Dicke durch Fluktuationen der Membran: divergent!
- Welche Fluktuationen beschreibt das Kapillarwellen-Modell?



# Kapillarwellen

- Welche Fluktuationen?
- Gradient-Expansion  $\leftrightarrow$  langwellige Fluktuationen  
 $\Rightarrow$  nur große  $\lambda > B_{KW}$   $\Rightarrow q < \frac{2\pi}{B_{KW}}$
- Wie groß ist  $B_{KW}$ ? Grenzflächenprofil  $\phi_g(z) \sim \Theta(z - h)$ ,  
 eigentlich Profil mit Breite  $\sim \xi$   $\Rightarrow B_{KW} \sim \xi$
- endliches System der Länge  $L$   
 $\Rightarrow \lambda < L$   $\Rightarrow q > \frac{2\pi}{L}$
- insgesamt:  $\frac{2\pi}{L} < q < \frac{2\pi}{B_{KW}}$

# Kapillarwellen

- Grenzflächen-Dicke:

$$\langle (h(x, y))^2 \rangle = \frac{k_B T}{2\pi\sigma} \int_{\frac{2\pi}{L}}^{\frac{2\pi}{B_{KW}}} dq \frac{1}{q} = \frac{k_B T}{2\pi\sigma} \ln \frac{L}{B_{KW}} < \infty$$

- divergent im thermodynamischen Limes  $L \rightarrow \infty$ , Infrarot-Divergenz aus  $q \rightarrow 0$
- physikalische Divergenz: langwellige Fluktuationen kosten kaum Energie
- „roughening“ bei Festkörpern:
  - $T < T_R$ : Oberfläche zeigt anisotrope Facetten, Oberflächen-Fluktuationen schwach
  - $T > T_R$ : Oberflächen-Anisotropie verschwunden unter Oberflächen-Fluktuationen
- im Ising-Modell:  $T_R \approx 0.5T_c$

# Landau-Theorie und Kapillarwellen

## Landau-Theorie (1893,1937):

- intrinsisches stetiges Grenzflächenprofil  $\phi_g(z)$ ,  
Dicke  $w_{\text{intr}} \sim \xi$
- beschreibt Fluktuationen  $a < \lambda < B_{\text{intr}} \sim \xi$

## Kapillarwellen-Theorie (1965):

- schwingende Membran  $h(x, y)$ , scharfe Grenzfläche,  
Dicke  $w_{KW} \sim \ln L$
- beschreibt Fluktuationen  $\xi \sim B_{KW} < \lambda < L$

# Landau-Theorie und Kapillarwellen

- Grenzflächen zeigen alle Fluktuationen
- Wie passen die beiden Beschreibungen zusammen?
- einfachstes Modell: mean-field-Fluktuationen und Kapillarwellen-Fluktuationen wechselwirken nicht



⇒ „Faltungsnäherung“

# Faltungsnäherung

- Vorstellung: intrinsisches Profil  $\phi_g(z)$  ist an schwingende Membran  $h(x, y)$  „geheftet“:  $\phi_g(z - h(x, y))$
- Gesamtprofil:

$$c(z) = \langle \phi_g(z - h) \rangle = \int dh \phi_g(z - h) P(h) = \phi_g(z) * P(z)$$

$P(h)$  = Wahrscheinlichkeit, dass Grenzfläche die Höhe  $z = h$  hat.

- aus Kapillarwellen-Modell:

$P(h)$  = Normalverteilung  $\mathcal{N}(0, s^2)$  mit Varianz

$$s^2 = \langle (h(x, y))^2 \rangle = \frac{k_B T}{2\pi\sigma} \ln \frac{L}{B_{KW}}$$

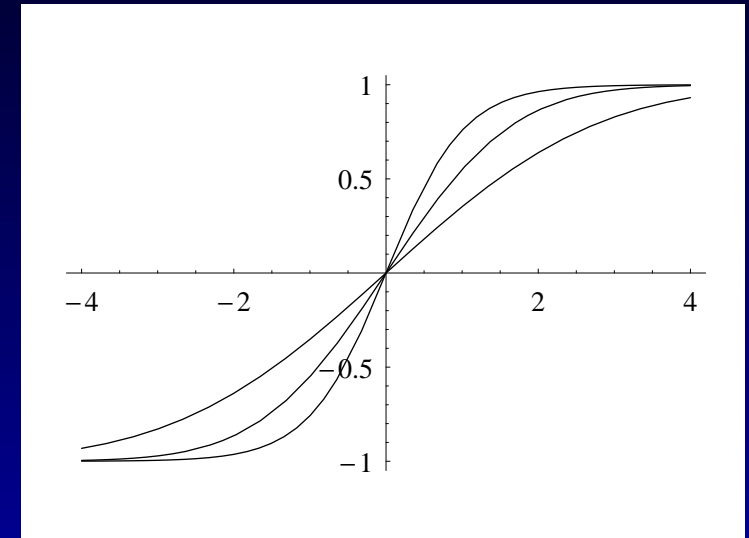
# Faltungsnäherung

- Gesamtprofil

$$c(z) = \phi_g(z) * \mathcal{N}(0, s^2)$$

⇒ Intrinsicches Profil mit Normalverteilung „verschmiert“

- Faltung  $\leftrightarrow$  stochastische Unabhängigkeit



- Dicke des Profils  $c(z)$ :

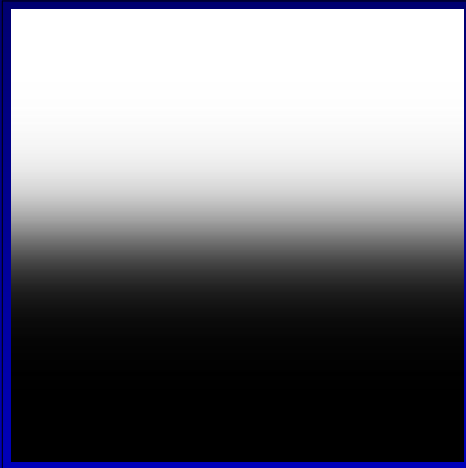
$$w_{\text{ges}}^2 = \underbrace{w_{\text{intr}}^2}_{\sim \xi^2} + \underbrace{w_{KW}^2}_{\sim \ln L}$$

Unabhängigkeit

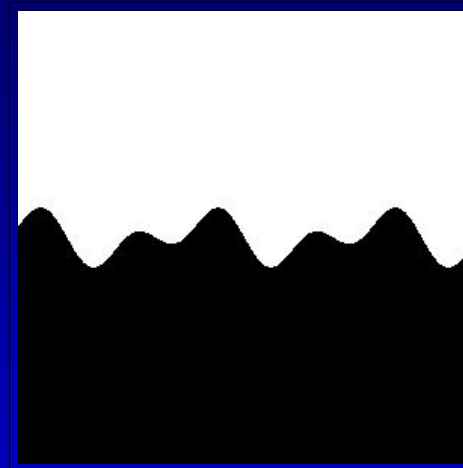
# Grenzflächen-Theorien

Ebenen-Schnitt: Blick seitlich auf die Grenzfläche:

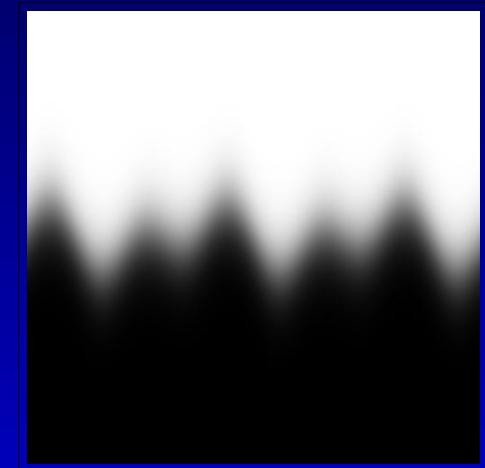
mean-field  
-Theorie



Kapillarwellen-  
Theorie



Faltungs-  
näherung



# Fragen

## Theorien:

- mean-field-Landau-Theorie: intrinsisches Profil, Fluktuationen  $a < \lambda < B_{\text{intr}}$
- Kapillarwellen-Theorie: schwingende Membran, Fluktuationen  $B_{KW} < \lambda < L$

## Fragen:

- Bedeutung der Cutoffs:
  - unproblematisch:  $a, L$
  - problematisch:  $B_{\text{intr}}, B_{KW}$ , beide  $\sim \xi$ .  
Wie groß? Übergangsbereich?
- „wirkliche“ Grenzfläche: Gesamtprofil und Gesamtbreite
  - $\Rightarrow$  Kann man die beiden Theorien trennen?
  - $\Rightarrow$  Konzept eines „intrinsischen Profils“ sinnvoll?



# Computer-Simulation

- 3D-Ising-Modell
- Ordnungsparameter: spontane Magnetisierung, Grenzfläche zwischen Spin-up- und Spin-down-Domänen
- Monte-Carlo-Simulation mit Wolff-Cluster-Algorithmus
- periodische Randbedingungen in  $x, y$ -Richtung, antiperiodische Randbedingungen in  $z$ -Richtung  
 $\Rightarrow$  System bildet eine Grenzfläche aus
- knapp unter der kritischen Temperatur  
 $\rightarrow$  Universalität, Landau-Theorie, roughening
- z. B.  $T = 1\%T_c \Rightarrow \xi = 4.56$



# Computer-Simulation

Ziel:

- Cutoffs  $B_{\text{intr}}, B_{KW}$ ?
- intrinsisches Profil mit intrinsischer Breite?

Methode:

Betrachten der Grenzfläche auf verschiedenen Größenskalen  $B$ , Messen der Dicke  $w$ . Erwartung:

- $B < B_{\text{intr}}$ : Landau-Theorie,  $w^2 \sim w_{\text{intr}}^2 \sim \xi^2$
- $B > B_{KW}$ : Kapillarwellen-Theorie,  $w^2 \sim w_{KW}^2 \sim \ln L$
- $B \sim B_{\text{intr}}, B_{KW}$ : Übergangsbereich

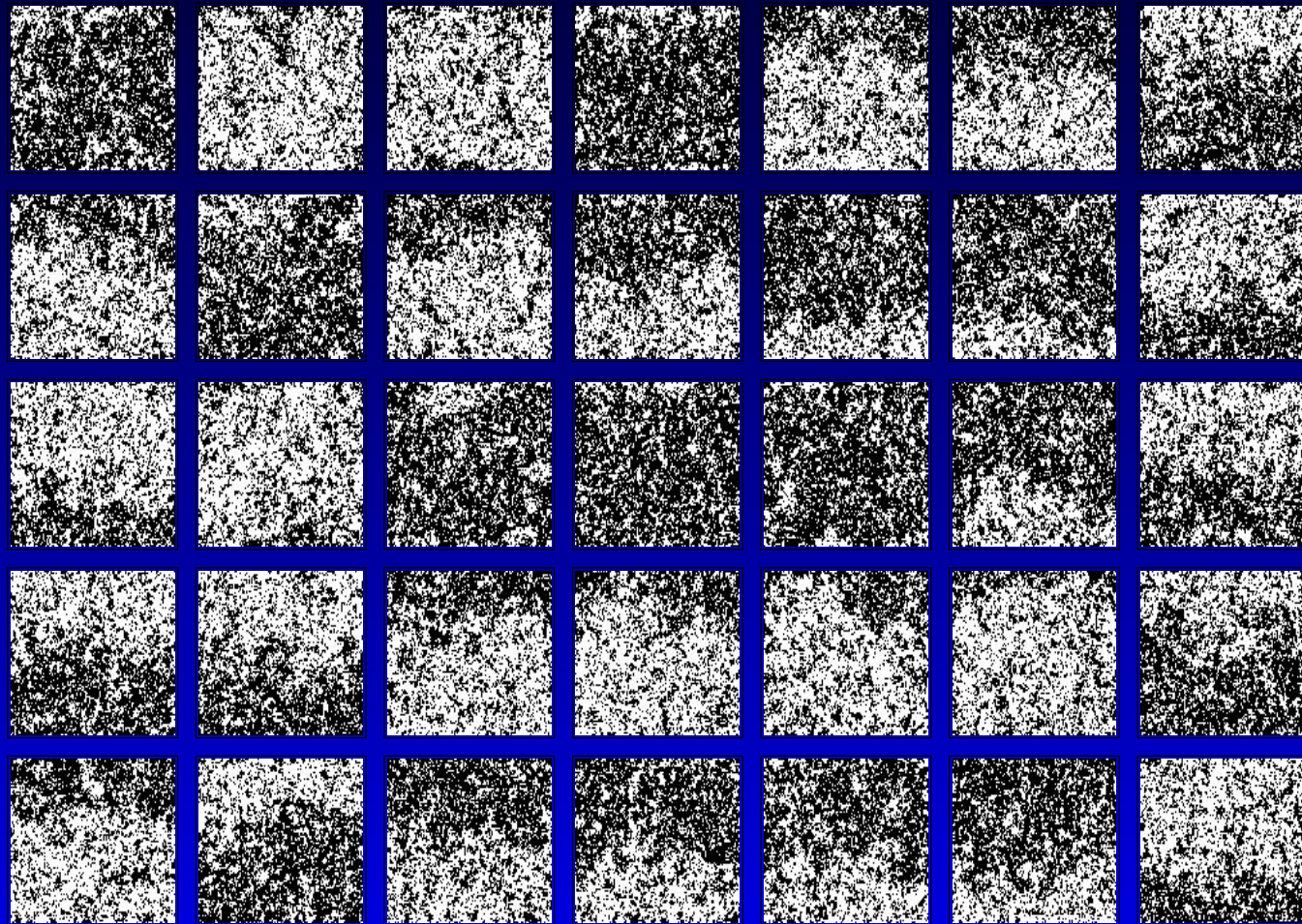
Praktische Probleme:

- starke Fluktuationen
- Grenzflächen-Position und -Dicke nicht wohldefiniert

# Computer-Simulation

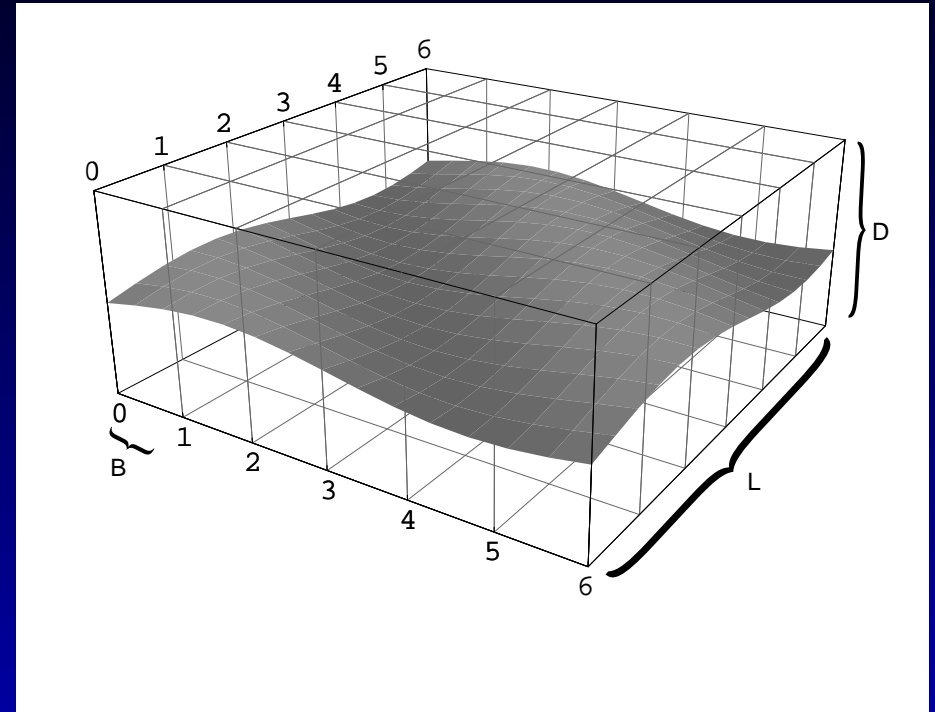


Blick auf die  $x, z$ -Ebene



# Verschiedene Längenskalen

Bilden von Blocks  
 der Größe  $B \times B \times D$ ,  
 $B = 1, 2, 4, \dots, L$



Grenzflächenprofil auf der Längenskala  $B$ :

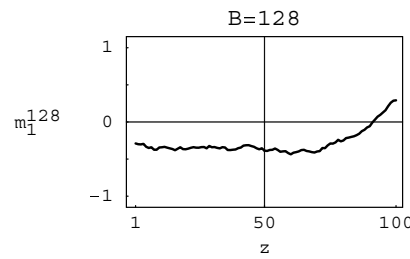
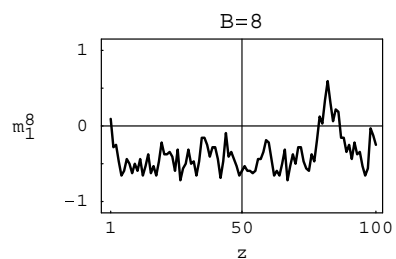
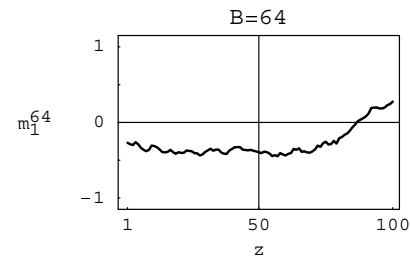
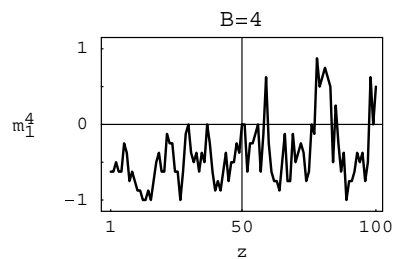
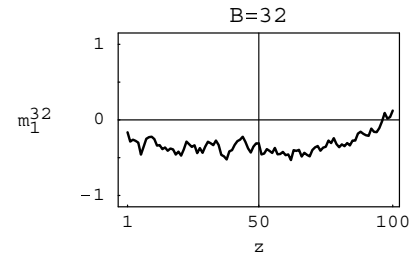
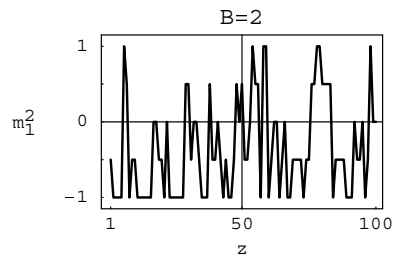
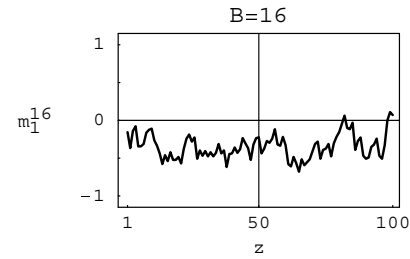
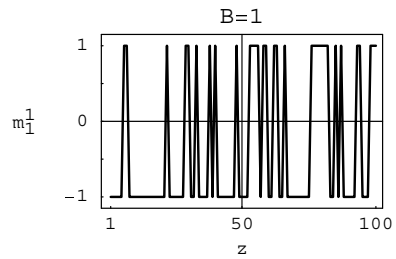
$$\phi_g(z) = \frac{1}{B^2} \sum_{x,y \in B} S(x, y, z)$$

# Profile auf verschiedenen Längenskalen



B = 1, 2  
4, 8

B = 16, 32,  
64, 128



# Grenzflächenposition



## Definition der Grenzflächenposition?

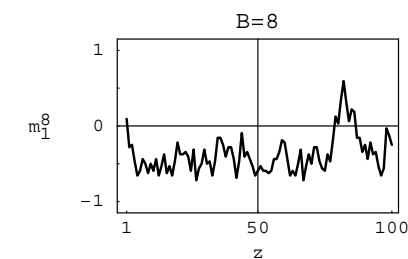
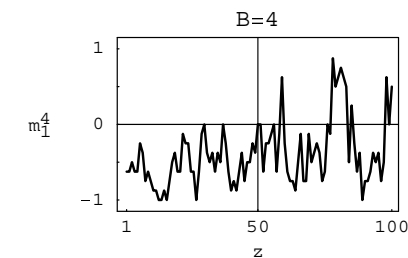
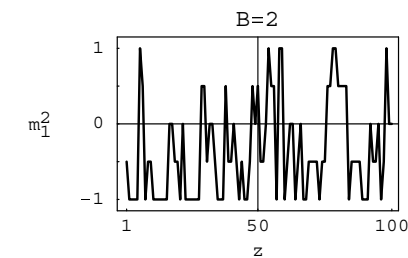
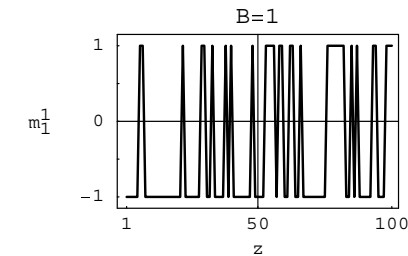
- Nulldurchgang des Profils
- Minimum des Profilbetrags
- Integration des Profils:  
$$h = \frac{1}{\phi_{\max}} \sum_z \phi_g(z)$$
- ...

## Probleme:

- Fluktuationen
- Translationsinvarianz

⇒ Münster: Rand-Schiebe-Verfahren

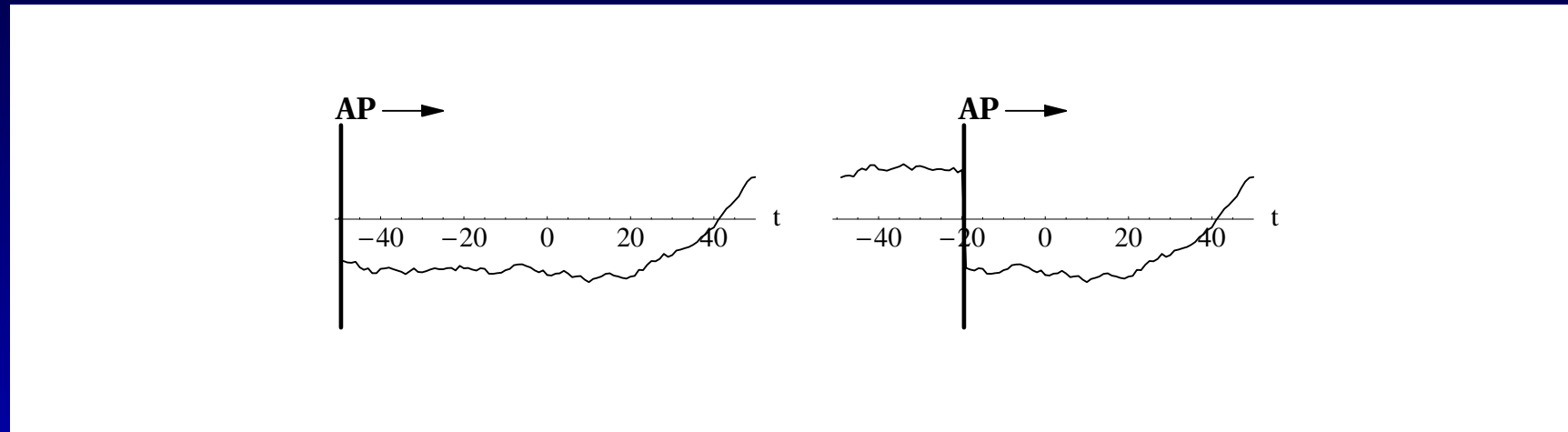
B = 1, 2  
4, 8



# Grenzflächenpositionen

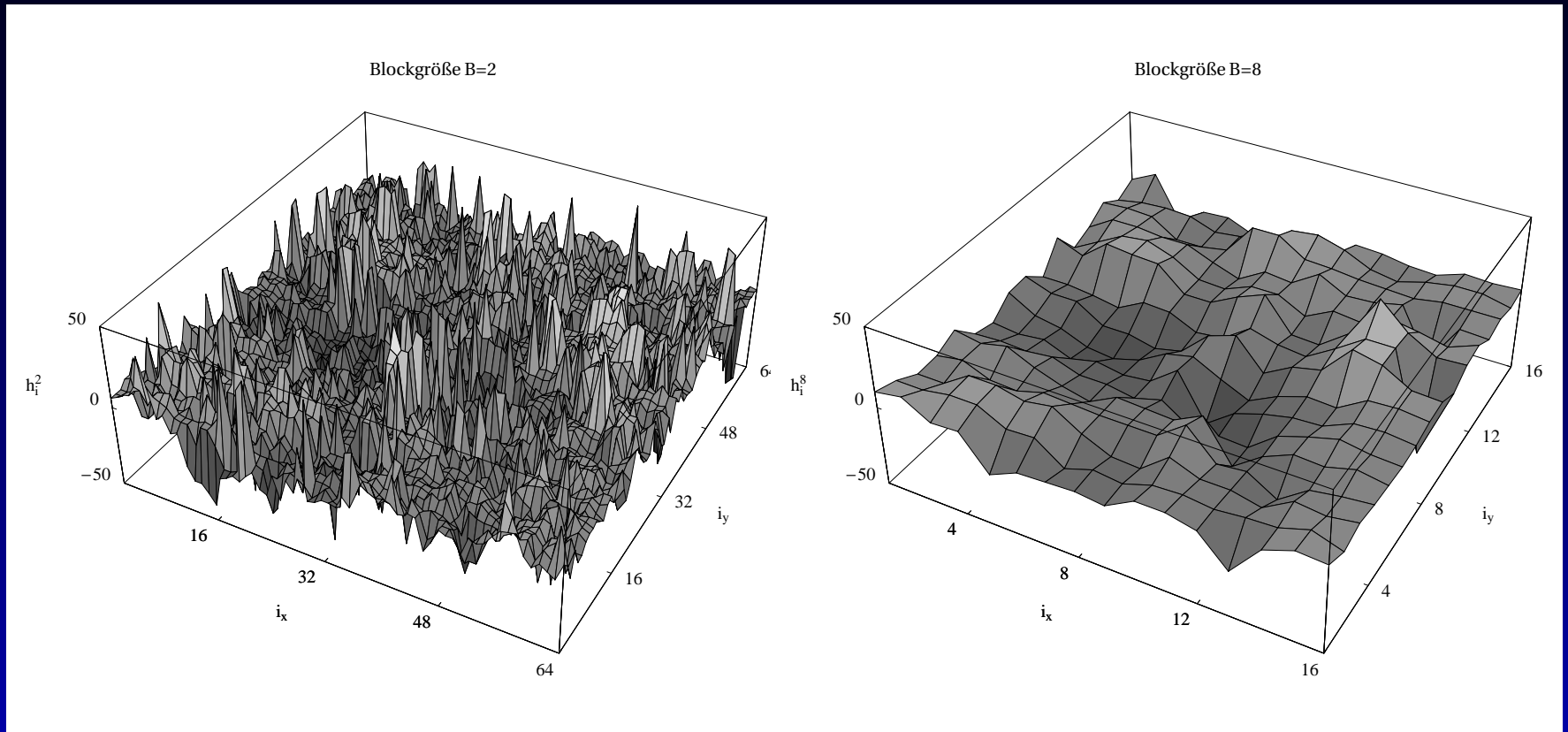
Rand-Schiebe-Verfahren:

- Translationsinvarianz durch Verschieben der antiperiodischen Randbedingungen



- Wenn maximal viele Werte dasselbe Vorzeichen haben, ist die Grenzfläche auf dem Rand.

# Grenzflächenpositionen

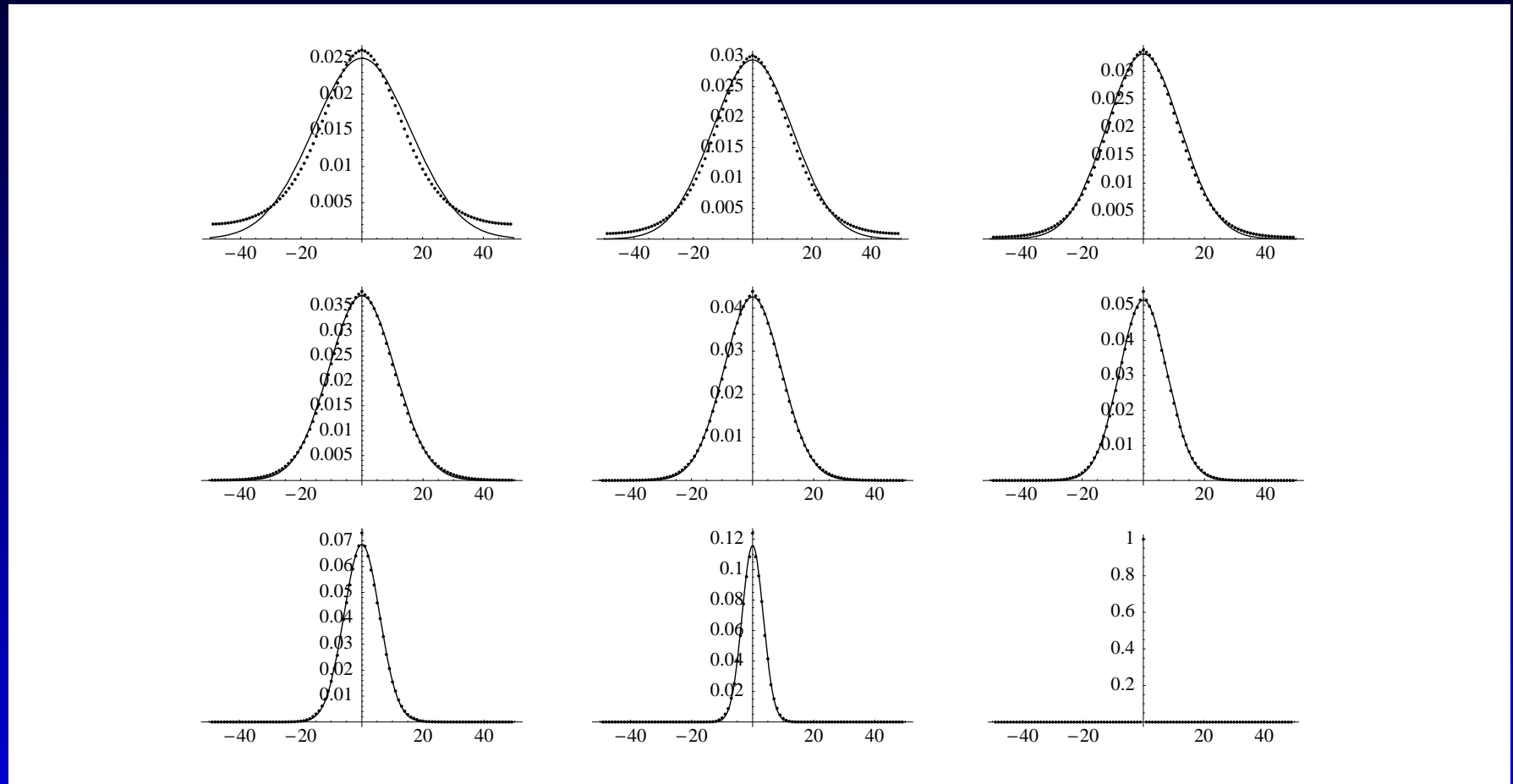




# Verteilung der Grenzflächenpositionen



Kapillarwellen-Theorie  $\Rightarrow P(h)$  Gauß-Verteilung

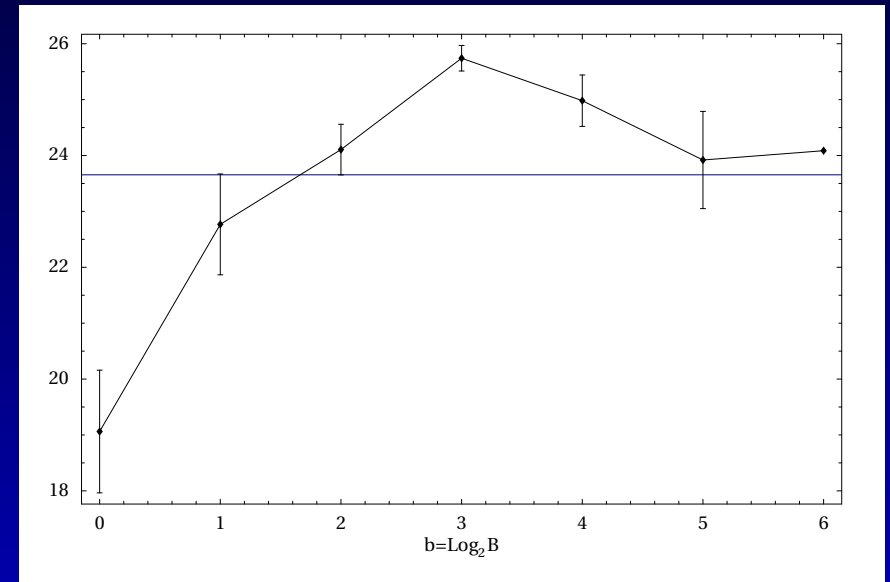
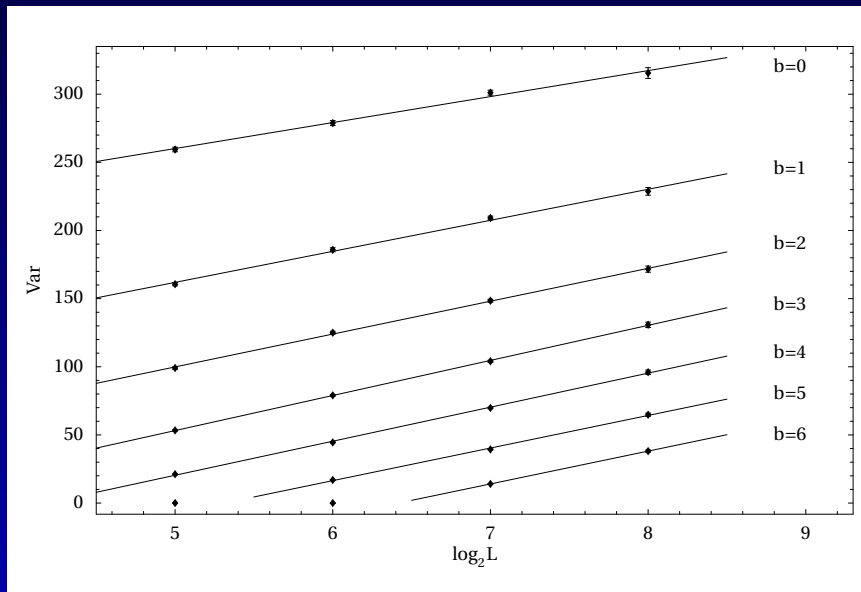


$\Rightarrow$  Kapillarwellen-Theorie erfüllt für  $B > 5\xi$

$\Rightarrow B_{KW} \approx 5\xi$

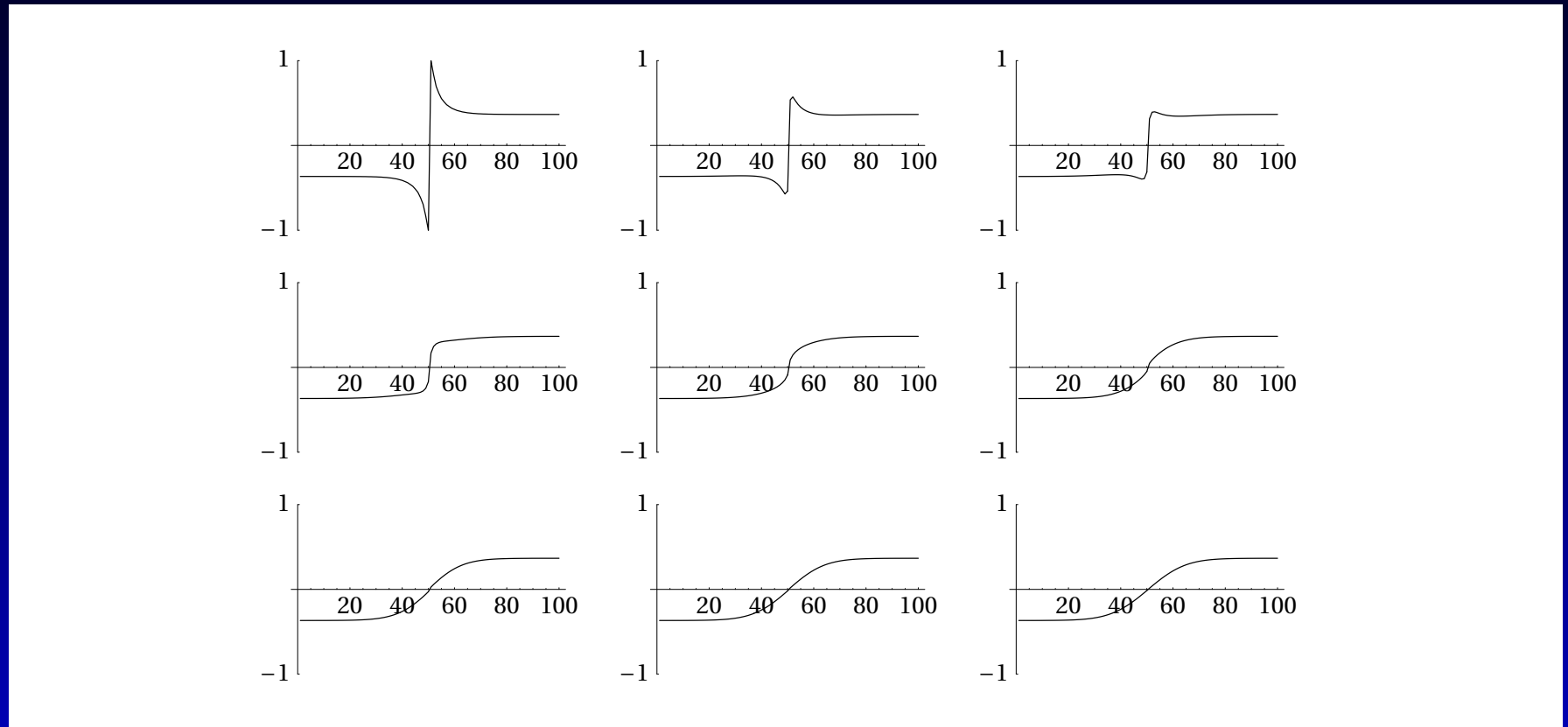
# Verteilung der Grenzflächenpositionen

Kapillarwellen-Theorie  $\Rightarrow P(h)$  Gauß-Verteilung  
 mit Varianz  $s^2 = \frac{k_B T}{2\pi\sigma} \ln \frac{L}{B_{KW}} \sim \ln L$



$\Rightarrow$  Größenordnung stimmt

# Profile



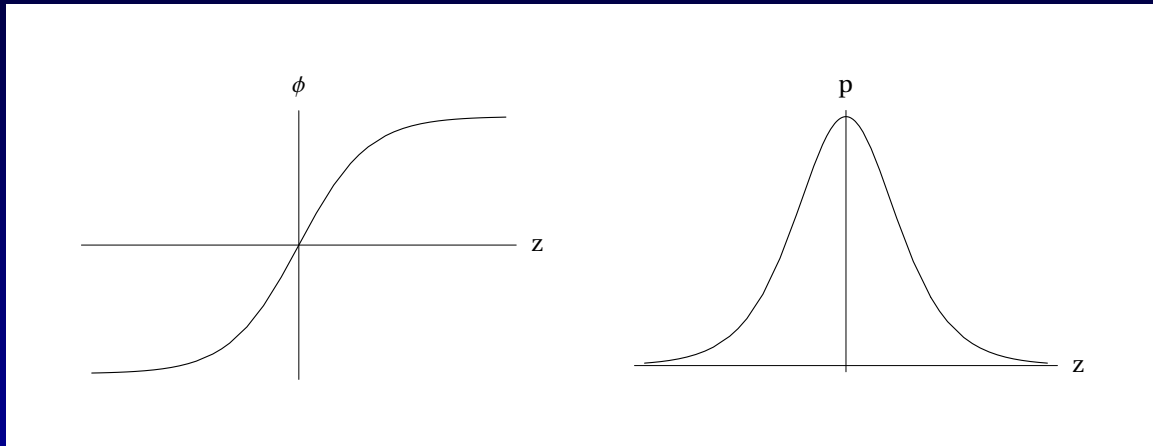
Profilform nicht gut entscheidbar

⇒ besser Breiten testen

# Dicken

Wie Breite messen? → Nicht eindeutig!

→ Am besten als zweites Moment einer Gewichtsfunktion  $p$



$p$  berücksichtigt Profilform, Peak an Grenzfläche  
Wahl der Gewichtsfunktion  $p$

- $p(z) \sim |\phi'_g(z)|$   
üblich in der Literatur

- $p(z) \sim (\phi'_g(z))^2$

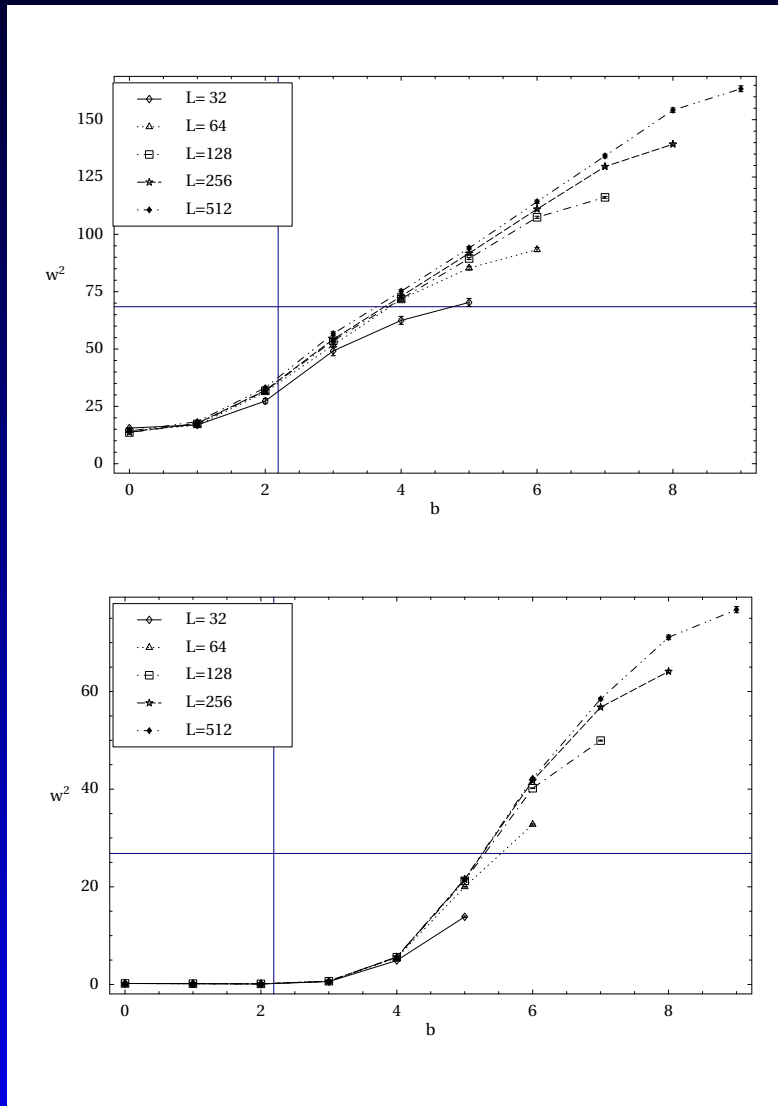
hat physikalische Interpretation als Energiedichte:

$$\mathcal{L}(\phi_g(z)) = \frac{1}{2}(\phi'_g(z))^2 + V(\phi_g(z)) \sim (\phi'_g(z))^2$$

zweites Moment  $\Rightarrow$  numerisch nicht so robust

# Dicken

$$w^2 = w_{\text{intr}}^2 + w_{KW}^2 = (c\xi)^2 + \frac{k_B T}{2\pi\sigma} \ln \frac{L}{B_{KW}}$$



$$p(z) \sim |\phi'_g(z)|$$

$$\Rightarrow B_{\text{intr}} \sim 5\xi$$

$$p(z) \sim (\phi'_g(z))^2$$

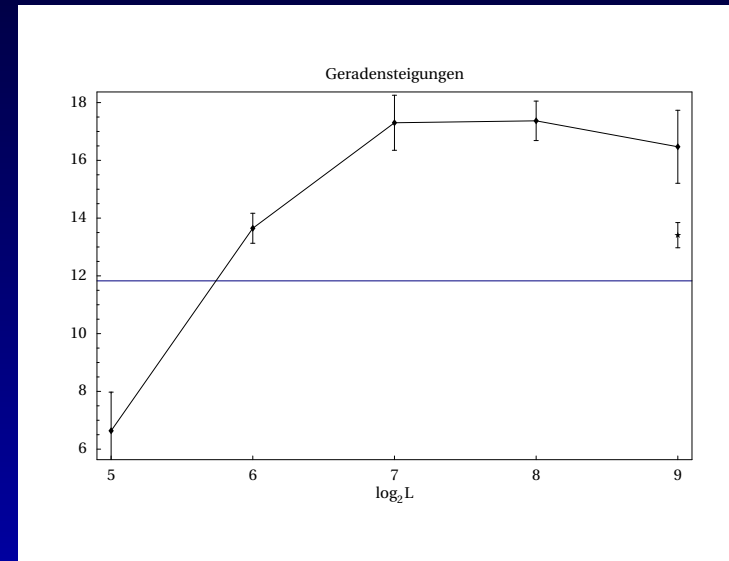
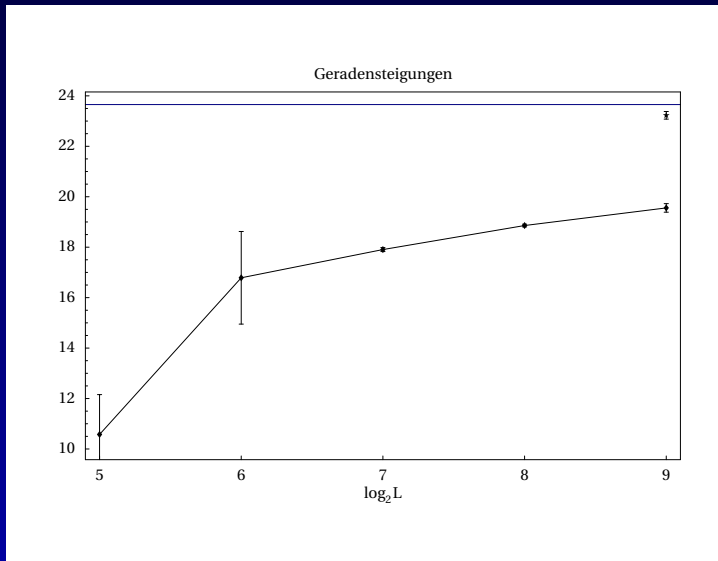
$$\Rightarrow B_{\text{intr}} \sim 10\xi$$

⇒ Intrinsische Breite nicht beobachtbar

# Dicken

$$w^2 = w_{\text{intr}}^2 + w_{KW}^2 = (c\xi)^2 + \frac{k_B T}{2\pi\sigma} \ln \frac{L}{B_{KW}} \sim \ln L$$

$$\text{Steigung} = \frac{k_B T}{2\pi\sigma}$$



$$p(z) \sim |\phi'_g(z)|$$

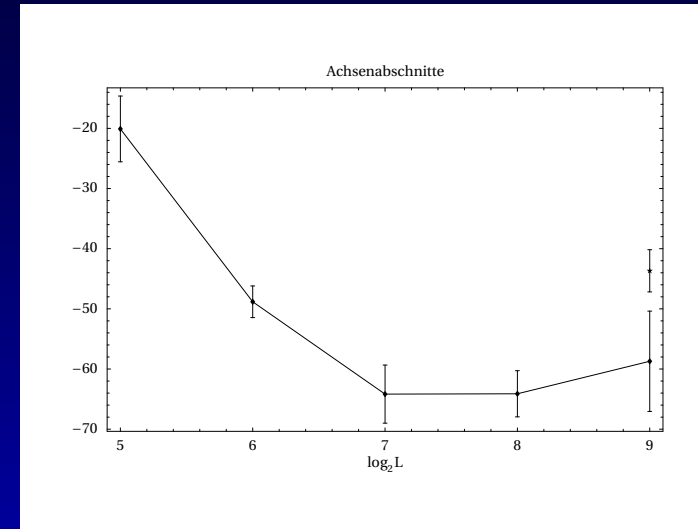
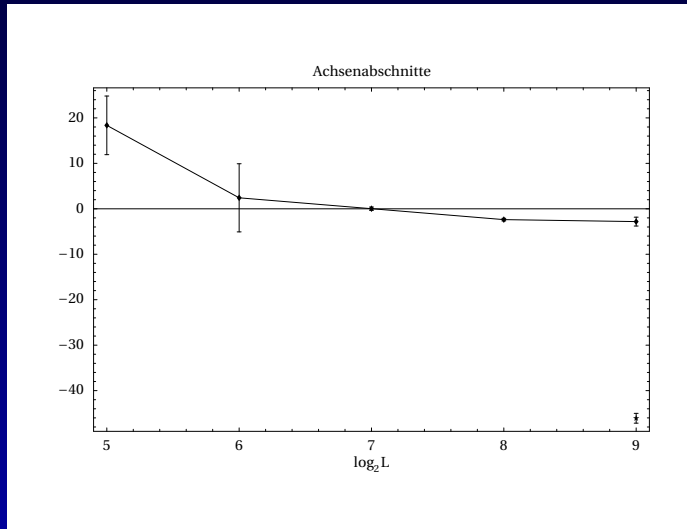
$$p(z) \sim (\phi'_g(z))^2$$

⇒ Größenordnungen stimmen

# Dicken

$$w^2 = w_{\text{intr}}^2 + \frac{k_B T}{2\pi\sigma} \ln \frac{L}{B_{KW}} \sim \ln L$$

Achsenabschnitt  $w_{\text{intr}}^2 - \frac{k_B T}{2\pi\sigma} \ln B_{KW}$



$$p(z) \sim |\phi'_g(z)|$$

$$p(z) \sim (\phi'_g(z))^2$$

⇒ Abschätzen von  $B_{KW}$

- für  $p(z) \sim |\phi'_g(z)|$ :  $B_{KW} \approx 2\xi$   
→ realistisch, wie aus Grenzflächenposition-Verteilung
- für  $p(z) \sim (\phi'_g(z))^2$ :  $B_{KW} \approx 40\xi$   
→ unrealistisch

# Zusammenfassung

Beschreibung von Grenzflächen in der Nähe von  $T_c$ :

- Landau-mean-field-Theorie:  $a < \lambda < B_{\text{intr}}$
- Kapillarwellen-Theorie:  $B_{KW} < \lambda < L$
- Faltungsnäherung:  $w^2 = w_{\text{intr}}^2 + w_{KW}^2$

Ergebnis der Monte-Carlo-Simulation:

- qualitativ gute Übereinstimmung mit der Theorie
- Abschätzung  $B_{\text{intr}}, B_{KW} \approx 5-10\xi$
- Resultat hängt von der Definition der Dicke ab
- intrinsisches Verhalten nicht beobachtbar



# Ausblick

- bessere Simulationen
  - näher an  $T_c$
  - größere Gitter
- bessere Theorien:
  - mean-field  $\rightarrow$  Loop-Rechnung (Küster 2001)
  - Kapillarwellen  $\rightarrow$  höhere Terme in Gradient-Entwicklung (Meunier 1987)
  - Faltungsnäherung  $\rightarrow$  Berücksichtigung der Wechselwirkung der Fluktuationen

